### 粗面開水路流れにおいて高濃度土砂が乱流構造に与える影響

熊本大学 学生会員 緒方 太一 安達 幹治 近藤 嘉人 正会員 大本 照憲

#### 1. はじめに

高濃度土砂流の動力学特性は、清水流と大きく異なり、粘性や密度の増大に伴い乱れの強さ、土砂の濃度分布、流れの抵抗特性および土砂輸送能力の変質が予想されるが、流れの計測が困難であることからその流動機構については不明な点が多い.

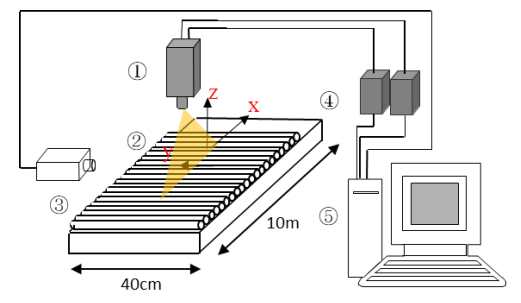
Bradley&McCutcheon 1)は、体積濃度が20%以下では密度や粘性への影響が小さい標準的な水流とし、20%以上でその特徴が現れ、粘土やシルトの体積濃度が5%以上の土砂流では非ニュートン流体特性を示すことが指摘されている.

大本ら<sup>2)</sup>は、水路床の境界条件として礫床上流れの再現で基本となる球状粗度を用い、相対粗度が大きく最密充填配列された球状粗度上の流れをPIV 法により計測し、粗度近傍に安定した規則性の高い上昇流および下降流が存在することを発見した。その結果、Roughness sublayer 内の流れにおいて平均流および乱れの水平面内における一様性が大きく崩れ、粗度の影響が強いことを指摘した。

本研究では、礫床流れを再現するうえで基本とされる円柱粗度を用い、円柱粗度上流れにおける土砂濃度と抵抗特性の関係性、流れの内部構造について、抵抗特性と流れ場の関係性、土砂の堆積による境界条件変化の可能性についての検討をした.

#### 2. 実験装置および実験方法

実験に用いた水路は、長さ10m、幅40cm、高さ20cmの可変勾配型の循環式直線水路である。水路床及び側壁はアクリル樹脂製となっており、側壁からのカメラ撮影、レーザー光が照射可能となっている。座標系は流下方向をx軸、水路横断方向をy軸、鉛直上向きをz軸とし、それぞれに対応した時間平均流速成分をU,V,W変動成分u',v',w'とする。座標系の詳細は図-1、粗度の縦列配列、横断配列を図-2に示す。粗度材料は直径30mmのアルミパイプを使用し、水路床に最密充填配列した。水路床は、水路上流端から流下方向に9mの長さに亘って配置した。



- 1 Double pulsed LASER Illumination System
- ②Laser sheet
- ③CCD—Camera Kodak Mega plus ES1.0
- ④YAG Laser Main unit
- (5) P.C. with Visiflow
  - software (Timing control & Analyse)

図-1 流れの計測システム

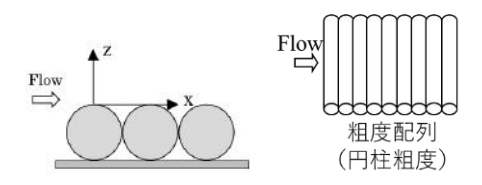


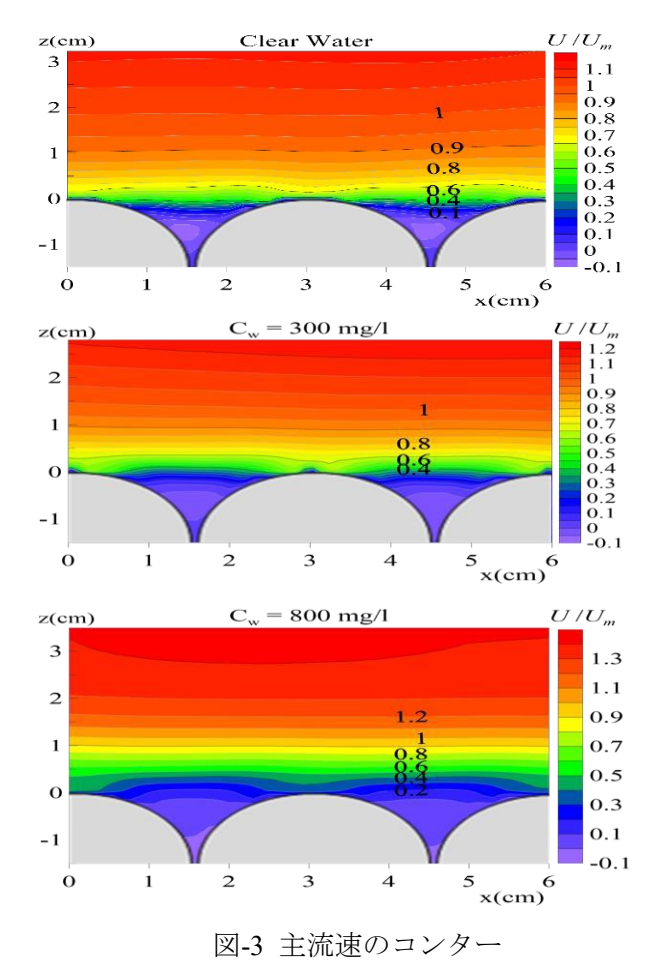
図-2 水路床の境界条件

|   | Case-1 | Case-2 | Case-3 |
|---|--------|--------|--------|
| PSA solution Cw<br>(mg/ℓ)                       | 0      | 300    | 800    |
| Discharge Q (l/s)                               | 4.0    | 4.2    | 3.6    |
| Channel slope I <sub>0</sub>                    | 1/300  | 1/300  | 1/300  |
| Flow depth H (cm)                               | 3.23   | 2.83   | 3.50   |
| Mean flow velocity U <sub>m</sub> (cm/s)        | 31.37  | 35.74  | 28.92  |
| Friction flow<br>velocity U <sub>*</sub> (cm/s) | 3.25   | 3.04   | 3.38   |
| Froude number Fr                                | 0.557  | 0.678  | 0.493  |
| Drag coefficient $C_f$                          | 0.0215 | 0.0145 | 0.0274 |

表-1 流速計測の実験条件

流れは所定の流量を通水し下流端の堰を操作する ことにより等流場を形成し、ポイントゲージを用い ることで等流水深を計測した.水深は中川ら³)と 同様に粗度頂部より計測した.

流速の計測には、非接触型の代表的な画像処理法である PIV(Particle-Image Velocimetry)法を用いた.



計測システムの概要を図-1 に示す. 測定位置は上流端より 5m の等流場で行った. 光源には空冷式の赤外線パルスレーザーを用い、シート光の厚さを 1mm、パルス間隔を 2000  $\mu$  s に設定し、水路上方から底面に垂直下向きに照 射した. レーザー光と CCD カメラを同期させて読み込まれた可視化画像は、126fps(frame per second)、1008×1008(pixel)のモノクロビデオ画像としてコンピューターのハードディスクに記録され、PIV 法により画像処理された. 計測時間は 40sec、流速のサンプリング周波数は 100Hz、1 計測面での画像データは 4000 枚であった. なお、トレーサーとして粒径 100  $\mu$  m、比重 1.02 のナイロン粒子を用いた. 表-1 に PSA 水溶液を用いた開水路実験の全抵抗係数と濃度の関係を示す.

# 3. 実験結果

図-3 は清水流, PSA 溶液濃度 Cw=300mg/l および Cw=800mg/l における時間平均流の主流速成分,図-4 は鉛直流速成分のカラーコンター図を示す.また,図中の主流速,鉛直流速成分の値は各濃度の平均流速で除し無次元化している.図-3 より主流速は粗度近傍ではいずれの場合も粗度頂部より上流側

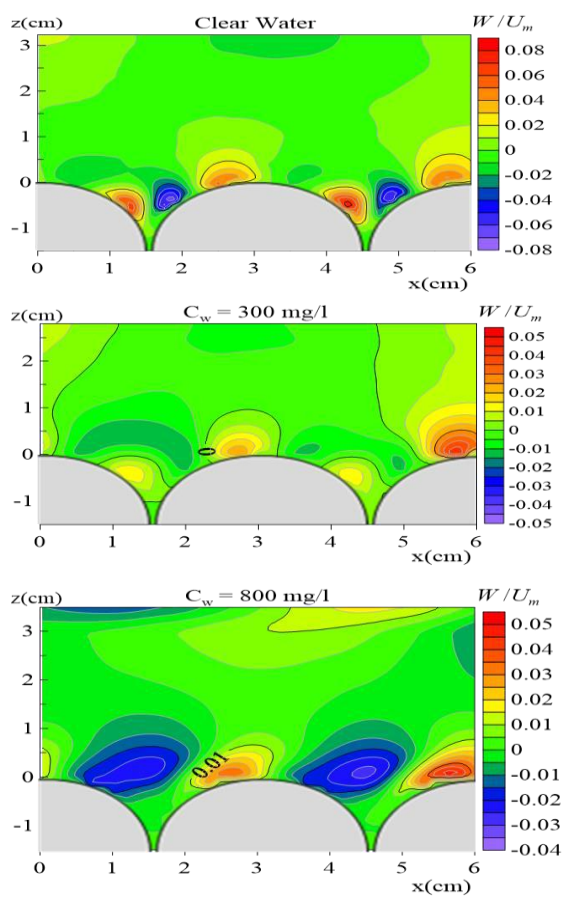


図-4 鉛直流速成分のコンター

で減速域,下流側で加速域がみられた.

また*Cw*=800mg/0 では上層において速度勾配がほぼ 0 になっている. 図-4 より鉛直流速成分は粗度頂部 より上流側で上昇流,下流側で下降流が形成される. また,濃度が増大するに伴い鉛直流速成分はより規則性の高い傾向を示すことがわかる. これは,濃度の増大に伴う乱れの低減が影響したと示唆される. また,既往研究 2)と同様に粗度近傍では規則性の高い上昇流および下降流が形成されたことから主流速との相関が強いことがわかる.

## 参考文献

- Bradley, J. B. and McCutcheon, S. C: The effects of high sediment concentration on transport processes and flow phenomena, proc. Conf. Erosion, Debris prevention, Japan. 1985
- 2)大本照憲・柿原ゆり・崔志英:相対粗度の大きい 開水路流れの乱流特性について,水工学論文集, 第49巻,pp. 511-516,2005.
- 3) 中川博次・辻本哲郎・清水義彦: 相対水深の小さな流れの構造に関する実験的研究, 土木学会論文集, 第423号, pp73-81, 1998